

## METODA ELEMENTÓW SKOŃCZONYCH DLA PŁYT WARSTWOWYCH O WYŻSZEGO RZĘDU ROZKŁADZIE FUNKCJI RUCHU PO GRUBOŚCI PŁYTY

BOHDAN MICHAŁAK

Politechnika Łódzka

### 1. Wstęp

W analizie grubych płyt znacznie bliższe rzeczywistości jest przyjęcie, że przekrój poprzeczny jest niepłaski i nieprostopadły do powierzchni środkowej. Efekty te występują bardziej wyraźnie dla płyt warstwowych i to o stosunkowo niedużym stosunku grubości do rozpiętości [6]. Rozkład po grubości struktury można wybrać dowolnego rzędu, przyjęcie zbyt małego rzędu rozkładu da niewystarczającą dokładność, natomiast rozkład zbyt dużego rzędu może być zbędny a powodować tylko zwiększenie liczby nieznanych składowych funkcji ruchu. W teorii zaproponowanej w pracy Lo [5] przemieszczenia w płaszczyźnie płyty i w kierunku poprzecznym są przyjęte jako funkcje odpowiednio sześciennic i kwadratowe współrzędnej w kierunku grubości. Ta wyższego rzędu teoria płyt była porównana w [4] i [5] z innymi teoriami i może być uważana za lepszą w zakresie dokładności i obszaru zastosowań.

Dla uzyskania rozwiązań tak przyjętego modelu zastosowano, podobnie jak w artykule [7] metodę elementów skończonych. Jeżeli w pracy [7] przyjęto do rozważań jedynie jednowymiarowy element belkowy, to w przedstawionym artykule rozważa się dwuwymiarowy element płytowy. Równania równowagi metody elementów skończonych uzyskano traktując rozpatrywany model jako ośrodek z dyskretyzacyjnymi więzami wewnętrznymi [8]. Podobny sposób uzyskania równań metody elementów skończonych dla ośrodka trójwymiarowego z wykorzystaniem zasad mechaniki ośrodków z więzami wewnętrznymi wykorzystano w pracach [3], [4].

### 2. Płyty dyskretyzowane

Przedstawmy obszar zajęty przez płytę w postaci iloczynu kartezyjskiego dwóch zbiorów  $\Pi$  i  $F$ ;  $B = \Pi \times F$ . Zbiór  $\Pi$  jest skończoną sumą rozłącznych obszarów  $\Pi_a$ ,  
$$\Pi = \bigcup_{a=1}^b \Pi_a, \quad \Pi_a \cap \Pi_b = \emptyset \quad (\text{obszary } \Pi_a \text{ nazywać będziemy elementami skończonymi}).$$
Niech  $(X^k, Z)$  będzie kartezyjskim układem współrzędnych w płycie, gdzie  $x = (X^k) \in \Pi$  są współrzędnymi na powierzchni środkowej płyty, a  $Z \in \left\langle -\frac{h}{2}, \frac{h}{2} \right\rangle$ , gdzie  $h$  jest grubością

plyty w konfiguracji początkowej. Wyrażmy funkcję ruchu płyty przez pewne funkcje zależne tylko od czasu,

$$\chi_k(X^k, Z, t) = \phi_{ak}(Z, \psi(X^k, q_i(t))) \quad x \in \Pi_a \times F. \quad (1)$$

Do uzyskania równań równowagi wykorzystamy zasadę idealności więzów [8],

$$\begin{aligned} & \sum_{a=1}^l \left( \int_{\Pi_a} \int_F r_a^k \cdot \delta\chi_k \cdot dV + \int_{\partial\Pi_a \cap \partial\Pi} \int_F s_a^k \cdot \delta\chi_k \cdot dS + \right. \\ & \left. + \int_{\Pi_a} \int_{\partial F} s_a^k \cdot \delta\chi_k \cdot dS \right) + \sum_{a=1}^{l-1} \sum_{b=a+1}^l \int_{\partial\Pi_a \cap \partial\Pi_b} \int_F s_{ab}^k \cdot \delta\chi_k \cdot dS = 0. \end{aligned} \quad (2)$$

Oznaczając przez  $\mathbf{b}$  i  $\mathbf{p}$  odpowiednio gęstość sił masowych i powierzchniowych mamy następujące równania określające siły reakcji więzów [8].

$$\begin{aligned} T_{a,\alpha}^{k\alpha} + \varrho_a b_a^k + r_a^k &= \varrho_a \ddot{\chi}^k, & x \in \Pi_a \times F, \\ T_{a,\mathbb{M}}^{kK} \cdot n_{aK} &= p_a^k + s_a^k, & x \in (\partial\Pi_a \cap \partial\Pi) \times F, \\ T_a^{k3} \cdot n_{a3} &= p_a^k + s_a^k, & x \in \Pi_a \times \partial F, \\ T_a^{kK} \cdot n_{aK} + T_b^{kK} \cdot n_{bK} &= s_{ab}^k, & x \in (\partial\Pi_a \cap \partial\Pi_b) \times F. \end{aligned} \quad (3)$$

Przyjmijmy, że rozpatrywany materiał płyty jest materiałem sprężystym, stąd

$$T_{a,\mathbb{M}}^{k\alpha} = \varrho \frac{\partial \sigma}{\partial \chi_{k,\alpha}} \quad (4)$$

Określając ze związku (1) przemieszczenie wirtualne  $\delta\chi_k = \sum_{i=1}^l \frac{\partial \phi_k}{\partial q_i} \cdot \delta q_i$  możemy prze-

kształcić zasadę idealności więzów (2) do następującej postaci

$$\begin{aligned} & \sum_{a=1}^l \left( \int_{\Pi_a} \int_F T_a^{k\alpha} \frac{\partial \phi_{k,\alpha}}{\partial q_i} \cdot \delta q_i \cdot dV - \int_{\Pi_a} \int_F \varrho_a b_a^k \frac{\partial \phi_k}{\partial q_i} \cdot \delta q_i \cdot dV + \right. \\ & \left. + \int_{\Pi_a} \int_F \varrho_a \ddot{\phi}_a^k \frac{\partial \phi_k}{\partial q_i} \cdot \delta q_i \cdot dV - \int_{\Pi_a} \int_{\partial F} P_a^k \frac{\partial \phi_k}{\partial q_i} \cdot \delta q_i \cdot dS - \right. \\ & \left. - \int_{\partial\Pi_a \cap \partial\Pi} \int_F P_a^k \frac{\partial \phi_k}{\partial q_i} \cdot \delta q_i \cdot dS \right) = 0. \end{aligned} \quad (5)$$

Po zdefiniowaniu następujących wielkości

$$\begin{aligned} \bar{\varepsilon} &= \int_F \varrho_a \sigma dF, & \bar{b}_{at} &= \int_F \varrho_a b_a^k \frac{\partial \phi_k}{\partial q_i} dF \\ \bar{P}_{at} &= \left[ P_a^k \frac{\partial \phi_k}{\partial q_i} \right]_{-\frac{h}{2}}^{\frac{h}{2}}, & \bar{P}_{at} &= \int_F P_a^k \frac{\partial \phi_k}{\partial q_i} dF, \\ \bar{i}_{at} &= \int_F \varrho_a \ddot{\phi}_a^k \frac{\partial \phi_k}{\partial q_i} dF, \end{aligned} \quad (6)$$

gdzie  $\left[ \frac{h}{2} \right]_{-\frac{h}{2}}^{\frac{h}{2}}$  oznacza różnicę zawartego wyrażenia dla  $z = \frac{h}{2}$  i  $z = -\frac{h}{2}$ , równanie (5) ma postać

$$\sum_{a=1}^l \left( \frac{\partial}{\partial q_i} \int_{\Pi_a} \bar{\varepsilon} \delta q_i d\Pi_a - \int_{\Pi_a} \bar{b}_{ai} \delta q_i d\Pi_a - \int_{\Pi_a} \bar{P}_{ai} \delta q_i d\Pi_a + \int_{\Pi_a} \bar{i}_{ai} \delta q_i d\Pi_a - \int_{\partial \Pi_a} \hat{P}_{ai} \delta q_i d(\partial \Pi_a) \right) = 0. \quad (7)$$

Zgodnie z Lemmatem du Bois-Reymonda równość (7) zachodzi wtedy gdy

$$\sum_{a=1}^l (h_{ai} + b_{ai} + p_{ai}) = \sum_{a=1}^l i_{ai}, \quad (8)$$

gdzie

$$\begin{aligned} h_{ai} &= -\frac{\partial \varepsilon_a}{\partial q_i}, & \varepsilon_a &= \int_{\Pi_a} \bar{\varepsilon} d\Pi_a, \\ b_{ai} &= \int_{\Pi_a} \bar{b}_{ai} d\Pi_a, & P_{ai} &= \int_{\Pi_a} \bar{P}_{ai} d\Pi_a, \\ i_{ai} &= \int_{\Pi_a} \bar{i}_{ai} d\Pi_a. \end{aligned} \quad (9)$$

Przyjmijmy funkcję ruchu w postaci

$$\begin{aligned} \chi_k(X^k, Z, t) &= \psi_k(X^k, q_i(t)) + \sum_{A=1}^3 (Z)^A \cdot d_k^A(X^k, q_i(t)) = \\ &= \psi_k(X^k, q_i(t)) + Z \cdot d_k^I(X^k, q_i(t)) + Z^2 \cdot d_k^{II}(X^k, q_i(t)) + Z^3 \cdot d_k^{III}(X^k, q_i(t)). \end{aligned} \quad (10)$$

Ze związku (10) otrzymujemy

$$\frac{\partial \phi_k}{\partial q_i} = \frac{\partial \psi_k}{\partial q_i} + Z \cdot \frac{\partial d_k^I}{\partial q_i} + Z^2 \cdot \frac{\partial d_k^{II}}{\partial q_i} + Z^3 \cdot \frac{\partial d_k^{III}}{\partial q_i}. \quad (11)$$

Podstawiając zależność (11) do związków (6) i (9) otrzymujemy następujące wyrażenia na siły uogólnione

$$\begin{aligned} b_{ai} &= \int_{\Pi_a} \left( B^k \frac{\partial \psi_k}{\partial q_i} + M_i^k \frac{\partial d_k^I}{\partial q_i} + M_{ii}^k \frac{\partial d_k^{II}}{\partial q_i} + M_{iii}^k \frac{\partial d_k^{III}}{\partial q_i} \right) d\Pi_a, \\ p_{ai} &= \int_{\Pi_a} [p^k]_{-\frac{h}{2}}^{\frac{h}{2}} \frac{\partial \psi_k}{\partial q_i} d\Pi_a + \int_{\Pi_a} m_{\lambda}^k \frac{\partial d_k^A}{\partial q_i} d\Pi_a, \end{aligned} \quad (12)$$

gdzie

$$\begin{aligned} B^k &= \int_F \varrho_R b^k dF, & M_{\lambda}^k &= \int_F \varrho_R b^k (Z)^{\lambda} dF, \\ m_{\lambda}^k &= [p^k (Z)^{\lambda}]_{-\frac{h}{2}}^{\frac{h}{2}}. \end{aligned} \quad (13)$$

Energia odkształcenia na jednostkę powierzchni jest zgodnie z (6.1) równa sumie energii odkształcenia na jednostkę powierzchni każdej z warstw płyty. Przyjmijmy, że każda z warstw jest ośrodkiem sprężystym z płaszczyzną symetrii  $z = \text{const}$ . Energia odkształcenia płyty analogicznie do danej w (2) jest określona związkiem

$$\bar{\varepsilon} = \frac{1}{2} \chi^T A \chi - \chi^{0T} A \chi^0 + \frac{1}{2} \chi A \chi^0,$$

gdzie:

$$\chi = [\psi_{T,M} \psi_3, \tau d_{T,M}^A, \bar{d}_{3,T}^A, d_3^A d_3^A]$$

Symbol „o” oznacza, że wielkości te są określone dla konfiguracji wyjściowej.

Macierz sprężystości  $A$  ma następującą budowę

$$A = \begin{bmatrix} D^{KLMN} & 0 & D_A^{KLMN} & 0 & 0 & D_A^{KL33} \\ 0 & D^{3K3M} & 0 & D_A^{K3M3} & \bar{D}_A^{K3M3} & 0 \\ D_A^{KLMN} & 0 & D_{AB}^{KLMN} & 0 & 0 & D_{AB}^{KL33} \\ 0 & D^{3K3M} & 0 & D_{AB}^{K3M3} & \bar{D}_{AB}^{K3M3} & 0 \\ 0 & \bar{D}^{3K3M} & 0 & \bar{D}_{AB}^{K3M3} & \bar{\bar{D}}_{AB}^{K3M3} & 0 \\ D_A^{33MN} & & D_{AB}^{33MN} & & & D_{AB}^{3333} \end{bmatrix},$$

Dla płyty utworzonej z  $n$  warstw o łącznej grubości  $h = \sum_{w=1}^n h(w)$  elementy macierzy  $A$  mają budowę

$$\begin{aligned} D^{KLMN} &= \int_F C^{KLMN}(w) \cdot dF = \sum_{w=1}^n \int_{-\frac{h}{2} + \sum_{m=1}^w h(m)}^{-\frac{h}{2} + \sum_{m=1}^w h(m)} C^{KLMN}(w) \cdot dz, \\ D_A^{KLMN} &= \int_F C^{KLMN}(w) \cdot (Z)^A \cdot dz, \\ D_{AB}^{KLMN} &= \int_F C^{KLMN}(w) \cdot (Z)^{A+B} \cdot dz, \\ D_A^{KL33} &= \int_F C^{KL33}(w) \cdot A \cdot (Z)^{A-1} \cdot dz, \\ D_{AB}^{KL33} &= \int_F C^{KL33}(w) \cdot B \cdot (Z)^{A+B-1} \cdot dz, \quad A, B = 1, 2, 3 \\ D^{K3M3} &= \int_F C^{K3M3}(w) \cdot dz, \\ D^{K3M3} &= \int_F C^{K3M3}(w) \cdot (Z)^A \cdot dz, \\ D_{AB}^{K3M3} &= \int_F C^{K3M3}(w) \cdot (Z)^{A+B} \cdot dz, \end{aligned} \tag{17}$$

$$\begin{aligned}\bar{D}_A^{K3M3} &= \int_F C^{K3M3}(w) \cdot A \cdot (Z)^{A-1} \cdot dz, \\ \bar{D}_{AB}^{K3M3} &= \int_F C^{K3M3}(w) \cdot B \cdot (Z)^{A+B-1} \cdot dz, \\ \bar{\bar{D}}_{AB}^{K3M3} &= \int_F C^{K3M3}(w) \cdot A \cdot B \cdot (Z)^{A-1+B-1} \cdot dz, \\ D_{AB}^{3333} &= \int_F C^{3333}(w) \cdot A \cdot B \cdot (Z)^{A-1+B-1} dz.\end{aligned}$$

Całkowanie po grubości płyty w powyższych wyrażeniach można przeprowadzić zgodnie z zasadą podaną w związku (17.1). Współczynniki  $C^{klmn}(w)$  określamy dla każdej warstwy „w” jako wyraz macierzy sprężystości dla ciała z płaszczyzną symetrii  $z = \text{const.}$  [1]

$$C = \begin{bmatrix} C^{1111} & C^{1122} & C^{1133} & 0 & 0 & C^{1112} \\ & C^{2222} & C^{2233} & 0 & 0 & C^{2212} \\ & & C^{3333} & 0 & 0 & C^{3312} \\ & & & C^{2323} & C^{2331} & 0 \\ & & & & C^{3131} & 0 \\ & & & & & C^{1212} \end{bmatrix}. \quad (18)$$

Po zdefiniowaniu następującego funkcjonału

$$W = \int_{\Pi_a} (\bar{\varepsilon} + B^k \cdot \psi_k + M_A^k \cdot d_k^A + [P^k]^{\frac{h}{2}} \cdot \psi_k + m_A^k \cdot d_k^A) \cdot d\Pi_a, \quad (19)$$

statyczne równania równowagi pojedynczego elementu „a” możemy zapisać następująco

$$\frac{\partial W}{\partial q_i} = 0. \quad (20)$$

### 3. Równania dla elementu skończonego

W rozdziale tym zapiszemy równania dla pojedynczego elementu skończonego. Globalny układ równań równowagi można uzyskać zgodnie z wzorem (8) jako sumę równań dla poszczególnych elementów skończonych.

Funkcja ruchu  $\chi$  wewnątrz elementu „a” jest dana przez funkcję kształtu  $N$  i „n” wartości węzłowych  $q_i$  funkcji ruchu

$$\begin{aligned}\psi &= N_\psi \cdot q_\psi, \\ d^A &= N_d \cdot q_d^A.\end{aligned} \quad (21)$$

Wektor gradientu funkcji ruchu dany wzorem (15) jest wówczas równy

$$\chi = R \cdot q = \begin{bmatrix} R_\psi & 0 \\ 0 & R_{dA} \end{bmatrix} \begin{bmatrix} q_\psi \\ q_{dA} \end{bmatrix} = \begin{bmatrix} R_\psi & 0 & 0 & 0 \\ 0 & R_{dI} & 0 & 0 \\ 0 & 0 & R_{dII} & 0 \\ 0 & 0 & 0 & R_{dIII} \end{bmatrix} \begin{bmatrix} q_\psi \\ q_{dI} \\ q_{dII} \\ q_{dIII} \end{bmatrix} \quad (22)$$

gdzie  $R$  jest macierzą, wyrazy której są pochodnymi funkcji kształtu względem współrzędnych  $X^k$ . Zgodnie ze wzorem (14) możemy określić gęstość energii odkształcenia na jednostkę powierzchni elementu

$$\bar{\varepsilon} = \frac{1}{2} q^T R^T A R q - q^T R^T A \chi^0 + \frac{1}{2} \chi^{0T} A \chi^0. \quad (23)$$

Energia odkształcenia elementu „a” określoną wzorem (9.2) możemy zapisać następująco

$$\varepsilon = \frac{1}{2} q^T K q - q^T K^0 + D \quad (24)$$

gdzie

$$\begin{aligned} K &= \int_{\Pi_a} R^T A R d\Pi_a = \begin{bmatrix} K^\psi & K_A^{\psi d} \\ K_A^{d\psi} & K_{AB}^d \end{bmatrix}, \\ K^0 &= \int_{\Pi_a} R^T A \chi^0 d\Pi_a = \begin{bmatrix} K^{0\psi} \\ K_B^{0d} \end{bmatrix}, \\ D &= \int_{\Pi_a} \frac{1}{2} \chi^{0T} A \chi^0 d\Pi_a. \end{aligned} \quad (25)$$

Natomiast funkcjonal  $W$  zdefiniowany wzorem (19) ma następującą budowę

$$W = \frac{1}{2} q^T K q - q^T K^0 + D + q_\psi^T \cdot (B + p) + q_d^{AT} \cdot (M_A + m_A) \quad (26)$$

gdzie wektory sił są zdefiniowane w następujący sposób

$$\begin{aligned} B &= \int_{\Pi_a} N_\psi^T \cdot \bar{B} d\Pi_a, \\ M_A &= \int_{\Pi_a} N_d^T \cdot \bar{M}_A d\Pi_a, \\ p &= \int_{\Pi_a} N_\psi^T \cdot [\bar{p}] \frac{h}{-2} d\Pi_a, \\ m_A &= \int_{\Pi_a} N_d^T \bar{m}_A d\Pi_a. \end{aligned} \quad (27)$$

Różniczkując odpowiednio funkcjonal  $W$  względem  $q_\psi$  i  $q_d^A$  otrzymujemy zgodnie z (20) równania równowagi dla elementu „a”

$$\begin{aligned} K^\psi q_\psi + K_B^{\psi d} \cdot q_d^B - K^{0\psi} + B + p &= 0 \\ K_A^{d\psi} \cdot q_\psi + K_{AB}^d \cdot q_d^B - K_A^{0d} + M_A + m_A &= 0. \end{aligned} \quad (28)$$

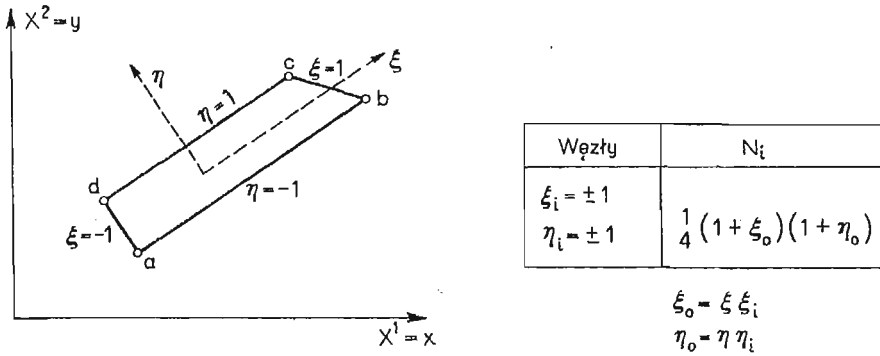
#### 4. Elementy izoparametryczne

Rozważania przeprowadzono dla elementu izoparametrycznego o czterech węzłach (rys. 1)

Geometria elementu jest interpolowana jako

$$\begin{aligned} x &= [N_a, N_b, N_c, N_d] \cdot X^e = N \cdot X^e, \\ y &= N \cdot Y^e, \end{aligned} \quad (29)$$

gdzie  $X^e$ ,  $Y^e$  są współrzędnymi węzłów elementu. Dla elementu izoparametrycznego funkcje ruchu  $\psi$  i  $d^A$  są podobnie zdefiniowane w zależności od ich wartości węzłowych



Rys. 1

$q_\psi$  i  $q_d^A$ ,

$$\begin{aligned} \psi &= N_\psi q_\psi, \\ d^A &= N_d q_d^A. \end{aligned} \tag{30}$$

Wektory wielkości węzłowych użyte w związkach (30) są zdefiniowane w następujący sposób

$$\begin{aligned} q_\psi &= [\psi_1^a \psi_2^a \psi_3^a \psi_1^b \psi_2^b \psi_3^b \psi_1^c \psi_2^c \psi_3^c \psi_1^d \psi_2^d \psi_3^d]^T, \\ q_d^A &= [d_1^{Aa} d_2^{Aa} d_3^{Aa} d_1^{Ab} d_2^{Ab} d_3^{Ab} d_1^{Ac} d_2^{Ac} d_3^{Ac} d_1^{Ad} d_2^{Ad} d_3^{Ad}]^T. \end{aligned} \tag{31}$$

W konfiguracji wyjściowej składowe funkcji ruchu mają następujące wartości

$$\begin{aligned} \psi_1^0 &= X^1 = x, & \psi_2^0 &= X^2 = y, & \psi_3^0 &= 0, \\ d_1^{A0} &= d_2^{A0} = 0, & d_3^{A0} &= 1, & d_3^{II0} &= d_3^{III0} = 0. \end{aligned} \tag{32}$$

Macierze  $R$  i  $R_d^A$  z (22) określające wektor gradientu funkcji ruchu o składowych

$$\chi = [\psi_{1,1} \psi_{1,2} \psi_{2,1} \psi_{2,2} \psi_{3,1} \psi_{3,2} d_{1,1}^A d_{1,2}^A d_{2,1}^A d_{2,2}^A d_{3,1}^A d_{3,2}^A d_1^{AA} d_2^{AA} d_3^{AA}]^T \tag{33}$$

zapiszemy w zależności od węzłowych podmacierzy

$$\begin{aligned} R_\psi &= [R_\psi^a, \dots, R_\psi^d], \\ R_d^A &= [R_d^{Aa}, \dots, R_d^{Ad}], \end{aligned} \tag{34}$$

gdzie

$$\begin{aligned} R_\psi^i &= \begin{bmatrix} \frac{\partial N_i}{\partial x} & \frac{\partial N_i}{\partial y} & 0 & 0 & 0 & 0 \\ 0 & 0 & \frac{\partial N_i}{\partial x} & \frac{\partial N_i}{\partial y} & 0 & 0 \\ 0 & 0 & 0 & 0 & \frac{\partial N_i}{\partial x} & \frac{\partial N_i}{\partial y} \end{bmatrix}^T \\ R_d^{ii} = R_d^{III} = R_d^{IIII} &= \begin{bmatrix} \frac{\partial N_i}{\partial x} & \frac{\partial N_i}{\partial y} & 0 & 0 & 0 & 0 & N_i & 0 & 0 \\ 0 & 0 & \frac{\partial N_i}{\partial x} & \frac{\partial N_i}{\partial y} & 0 & 0 & 0 & N_i & 0 \\ 0 & 0 & 0 & 0 & \frac{\partial N_i}{\partial x} & \frac{\partial N_i}{\partial y} & 0 & 0 & N_i \end{bmatrix}^T \end{aligned} \tag{35}$$

Relacje pomiędzy różniczkowaniem funkcji kształtu  $N$  względem współrzędnych  $\xi$  i  $\eta$  a względem współrzędnych globalnych  $x, y$  potrzebne do tworzenia macierzy  $R_v$  i  $R_A^d$  są dane poprzez macierz  $I_c$

$$I_c = \begin{bmatrix} \frac{\partial x}{\partial \xi} & \frac{\partial x}{\partial \eta} \\ \frac{\partial y}{\partial \xi} & \frac{\partial y}{\partial \eta} \end{bmatrix}. \quad (36)$$

Jeżeli różniczkowania funkcji kształtu  $N$  względem współrzędnych  $\xi$  i  $\eta$  są zapisane jako

$$\begin{aligned} G_\xi &= \left[ \frac{\partial N_a}{\partial \xi}, \frac{\partial N_b}{\partial \xi}, \frac{\partial N_c}{\partial \xi}, \frac{\partial N_d}{\partial \xi} \right]^T \\ G_\eta &= \left[ \frac{\partial N_a}{\partial \eta}, \frac{\partial N_b}{\partial \eta}, \frac{\partial N_c}{\partial \eta}, \frac{\partial N_d}{\partial \eta} \right]^T, \end{aligned} \quad (37)$$

wtedy macierz  $I_c$  może być zapisana

$$I_c = \begin{bmatrix} G_\xi^T \cdot X^e & G_\eta^T \cdot X^e \\ G_\xi^T \cdot Y^e & G_\eta^T \cdot Y^e \end{bmatrix} \quad (38)$$

Wektory określające pochodne funkcji kształtu  $N$  względem współrzędnych  $x, y$  są określone następująco

$$\begin{aligned} G_x^T &= \left[ \frac{\partial N_a}{\partial x}, \frac{\partial N_b}{\partial x}, \frac{\partial N_c}{\partial x}, \frac{\partial N_d}{\partial x} \right] = \frac{\partial \xi}{\partial x} G_\xi^T + \frac{\partial \eta}{\partial x} G_\eta^T, \\ G_y^T &= \left[ \frac{\partial N_a}{\partial y}, \frac{\partial N_b}{\partial y}, \frac{\partial N_c}{\partial y}, \frac{\partial N_d}{\partial y} \right] = \frac{\partial \xi}{\partial y} G_\xi^T + \frac{\partial \eta}{\partial y} G_\eta^T, \end{aligned} \quad (39)$$

gdzie różniczkowania  $\xi$  i  $\eta$  względem  $x, y$  są otrzymane z  $I_c^{-1}$ . Macierz sprężystości  $A$  daną w (16) możemy zbudować z czterech podmacierzy

$$A = \begin{bmatrix} A^v & A_A^{vd} \\ A_B^{dv} & A_{BA}^d \end{bmatrix}, \quad (40)$$

które mają następującą budowę

$$A^v = \begin{bmatrix} D^{1111} & D^{1112} & D^{1121} & D^{1122} & 0 & 0 \\ D^{1211} & D^{1212} & D^{1221} & D^{1222} & 0 & 0 \\ D^{2111} & D^{2112} & D^{2121} & D^{2122} & 0 & 0 \\ D^{2211} & D^{2212} & D^{2221} & D^{2222} & 0 & 0 \\ 0 & 0 & 0 & 0 & D^{3131} & D^{3132} \\ 0 & 0 & 0 & 0 & D^{3231} & D^{3232} \end{bmatrix},$$

$$A_A^{vd} = \begin{bmatrix} D_A^{1111} & D_A^{1112} & D_A^{1121} & D_A^{1122} & 0 & 0 & 0 & 0 & D_A^{1133} \\ D_A^{1211} & D_A^{1212} & D_A^{1221} & D_A^{1222} & 0 & 0 & 0 & 0 & D_A^{1233} \\ D_A^{2111} & D_A^{2112} & D_A^{2121} & D_A^{2122} & 0 & 0 & 0 & 0 & D_A^{2133} \\ D_A^{2211} & D_A^{2212} & D_A^{2221} & D_A^{2222} & 0 & 0 & 0 & 0 & D_A^{2233} \\ 0 & 0 & 0 & 0 & D_A^{3131} & D_A^{3132} & \bar{D}_A^{3131} & \bar{D}_A^{3132} & 0 \\ 0 & 0 & 0 & 0 & D_A^{3231} & D_A^{3232} & \bar{D}_A^{3231} & \bar{D}_A^{3232} & 0 \end{bmatrix},$$



$$A_B^{d\psi} = (A_A^{\psi d})^T. \quad (41)$$

$$A_{AB}^d = \begin{bmatrix} D_{AB}^{1111} & D_{AB}^{1112} & D_{AB}^{1121} & D_{AB}^{1122} & 0 & 0 & 0 & 0 & D_{AB}^{1133} \\ D_{AB}^{1211} & D_{AB}^{1212} & D_{AB}^{1221} & D_{AB}^{1222} & 0 & 0 & 0 & 0 & D_{AB}^{1233} \\ D_{AB}^{2111} & D_{AB}^{2112} & D_{AB}^{2121} & D_{AB}^{2122} & 0 & 0 & 0 & 0 & D_{AB}^{2133} \\ D_{AB}^{2211} & D_{AB}^{2212} & D_{AB}^{2221} & D_{AB}^{2222} & 0 & 0 & 0 & 0 & D_{AB}^{2233} \\ 0 & 0 & 0 & 0 & D_{AB}^{1313} & D_{AB}^{1323} & \bar{D}_{AB}^{1313} & \bar{D}_{AB}^{1323} & 0 \\ 0 & 0 & 0 & 0 & D_{AB}^{2313} & D_{AB}^{2323} & \bar{D}_{AB}^{2313} & \bar{D}_{AB}^{2323} & 0 \\ 0 & 0 & 0 & 0 & \bar{D}_{AB}^{1313} & \bar{D}_{AB}^{1323} & \bar{D}_{AB}^{1313} & \bar{D}_{AB}^{1323} & 0 \\ 0 & 0 & 0 & 0 & \bar{D}_{AB}^{2313} & \bar{D}_{AB}^{2323} & \bar{D}_{AB}^{2313} & \bar{D}_{AB}^{2323} & 0 \\ D_{AB}^{1133} & D_{AB}^{1233} & D_{AB}^{2133} & D_{AB}^{2233} & 0 & 0 & 0 & 0 & D_{AB}^{3333} \end{bmatrix}$$

Znając budowę macierzy  $R$  i  $A$  możemy z wzoru (25) określić macierz sztywności  $K$  elementu skończonego

$$\begin{aligned} K^v &= \int_{\Pi_a} R_v^T \cdot A^v \cdot R_v d\Pi_a, \\ K_A^{\psi d} &= \int_{\Pi_a} R_A^T \cdot A_A^{\psi d} \cdot R_{dA} d\Pi_a, \\ K_A^{d\psi} &= \int_{\Pi_a} R_{dA}^T \cdot A_A^{d\psi} \cdot R_v d\Pi_a = (K_A^{\psi d})^T, \\ K_{AB}^d &= \int_{\Pi_a} R_{dA}^T \cdot A_{AB}^d \cdot R_{dB} d\Pi_a. \end{aligned} \quad (42)$$

Globalną macierz sztywności struktury otrzymamy zgodnie z wzorem (8) sumując odpowiednio elementy macierzy sztywności poszczególnych elementów.

## 5. Uwagi końcowe

W przedstawionej pracy podano sposób rozwiązania grubych płyt warstwowych z wykorzystaniem metody elementów skończonych i przyjęciem funkcji ruchu dowolnego punktu jako funkcji trzeciego stopnia zmiennej w kierunku grubości płyty. Potraktowanie płyty jako ciała z wiązami dyskretyzacyjnymi pozwala w prosty sposób uzyskać równania równowagi elementów skończonych przy dowolnej budowie funkcji ruchu. Pozwala to również po znalezieniu rozwiązania określić siły reakcji więzów wewnętrznych, które można wykorzystać do sterowania dyskretyzacją ciała (4).

Jak pokazano w pracy [6] zastosowanie wyższego rzędu rozkładu wzdłuż grubości płyty daje znacznie dokładniejsze wyniki dla płyt warstwowych o niezbyt dużym stosunku grubości do rozpiętości, bo wynoszącym 0,25.

## Literatura cytowana w tekście

1. R. M. CHRISTENSEN, *Mechanics of Composite Materials*, John Wiley Sons, New—York 1979.
2. S. KONIECZNY, B. MICHAŁAK, *Ciała z cienką warstwą na powierzchni brzegowej*, Zesz. Nauk. Pł., Budow. Z. 27 1981 s. 31 - 43.

3. W. KUFEL, F. PIETRAS, *Ocena dokładności rozwiązań problemów brzegowych sprężystych ciał dyskretyzowanych*, Rozpr. Inżyn. 22/1974 s. 427 - 434.
4. W. KUFEL, *Sterowana dyskertyzacja płyt i powłok*, Mech. Teor. i Stos. 14 (1976) s. 19 - 31.
5. K. H. LO, R. M. CHRISTENSEN, E. M. WU, *A High-Order Theory of Plate Deformation*, Part 1. Jour. of App. Mech. Vol. 44, Trans. ASME Vol 99 Series E 1977 s. 663 - 668.
6. K. H. LO, R. M. CHRISTENSEN, E. M. WU, *A High-Order Theory of Plate Deformation*, Part 2. Jour. of App. Mech. Vol 44, Trans. ASME Vol 99 Series E 1977 s. 669 - 676.
7. R. L. SPILKER, N. I. MUNIR, *Comparison of hybrid-stress element throughthickness distributions corresponding to a High-Order Plate theory*, Comp. Stru. 1980 s. 579 - 586.
8. Cz. WOŹNIAK, *Constrained Continuous Media II Discretized Formulation of the Continuous Media Theory*, Bull. Acad. Polon Sci. Sér. Sci Techn Vol 21 (1973) s. 167 - 175.

## Резюме

## МЕТОД КОНЕЧНЫХ ЭЛЕМЕНТОВ ДЛЯ УТОЧНЕННОЙ ТЕОРИИ СЛОИСТЫХ ПЛАСТИН

Метод конечных элементов использован в работе для представления решения для уточненной теории слоистых пластин. Уравнения равновесия для конечных элементов получены из теории тел с ограничивающими связями, механика которых была построена Ч. Возняком. В работе указана матрица жесткости для изопараметрических элементов.

## Summary

## THE FINITE ELEMENT METHOD FOR LAMINATED PLATES WITH A HIGH-ORDER THEORY OF PLATE DEFORMATION

The finite element method is applied to solution of laminated thick plates with a high-order theory of plate deformation. In order to derive the equilibrium equations of elements the theory of constrained bodies has been applied. The mechanics of such bodies was formulated by Cz. Woźniak. Paper describes stiffness matrices for isoparametric elements.

*Praca została złożona w Redakcji dnia 1 lipca 1982 roku*